

東京大学 学生員 萩原雅夫  
東京大学 正会員 松本嘉司

## 1. はじめに

交通需要予測に関する通常の手続とは、現況の調査データを分析し、モデルのパラメーターを決定し将来の需要を予測するものである。モデルのパラメーターの性質を知る事は、計画者にとり重要なものである。本研究では、対象を都市交通需要の主要な部分を含め、通勤目的の交通とし、その分布交通量推定モデルとして重力モデルの距離抵抗のパラメーターを都市間の比較分析により定量的に把握することを目的としている。重力モデルには多くの変形、取扱い上の相異点が見られ、既往の計画例で算出されていける距離抵抗パラメーターを単純には比較できない。従ってまず本研究の立場から見て従来の重力モデルの欠点を指摘し、モデルを統一して後、パラメーターの比較分析に進むことにす。尚、対象都市圏としては、広島都市圏（昭和42年）、広島都市圏（昭和53年）、前橋・高崎都市圏、仙台都市圏、浜松都市圏、鹿児島都市圏、マニラ都市圏、ダバオ都市圏の計8都市圏を取りあげた。

## 2. 重力モデルの問題点と改善

本来のD表はその行と列の和が各々各ゾーンの発生量、集中量に等しいとする条件があるが一般にはモデルはこの条件を満たしていないため、パラメーターを推定した後に現在パターン法等による修正作業が必要となる。これはモデルのパラメーターが現況交通を正しく反映していない事であり、パラメーター比較の立場からは好ましくない。

本研究では上記の制約条件をパラメーター推定の段階で取り入れるために、各ゾーンの発生量を微少量ずつ分割して発生させる方法を用いた。

$$t_{ij}^k = \frac{O_i^k D_j^k C_{ij}^{-\alpha}}{\sum_{l=1}^N D_l^k C_{il}^{-\alpha}} \quad (k=1, 2, \dots, N)$$

$$t_{ij} = \sum_{k=1}^N t_{ij}^k$$

$t_{ij}^k$ : 第k回目のijゾーン間交通量  
 $O_i^k$ : 第k回目のijゾーン発生量 ( $i=1, 2, \dots, I$ )  
 $D_j^k$ : 第k回目のijゾーン残留集中量 ( $j=1, \dots, J$ )  
 $C_{ij}$ : ij間距離抵抗 (ゾーン間直線距離)  
 $\alpha$ : 距離抵抗パラメーター

$O_i'$ としてijゾーン発生量のうち微少量をとり、 $D_j'$ にはjゾーンの総集中量をとり  $t_{ij}'$ を求める。次は  $D_j$ から第1回目集中量を差引いた値を  $D_j''$ にとり  $t_{ij}''$ を求め以下この操作を繰り返し各ゾーンの残留発生量、残留集中量が微少量になる迄繰り返す。尚本方法はテクニッケ上の方法で人間の行動に基づくものではない。又この2つの制約条件を満足する  $t_{ij}$  の解は唯一である。

## 3. モデルの説明力の検証

既往のモデルとして下記のモデル1, 2を取り上げ、2つの制約条件を満足するモデル3と比較した。説明力の指標として平均平方誤差 (RMSE) を用いた。(図1, 2)

モデル1	$t_{ij} = K \frac{O_i D_j}{C_{ij}^{-\alpha}}$
モデル2	$t_{ij} = O_i \frac{D_j C_{ij}^{-\alpha}}{\sum_{l=1}^N D_l C_{il}^{-\alpha}}$
モデル3	上記

図1 各モデルの誤差比較

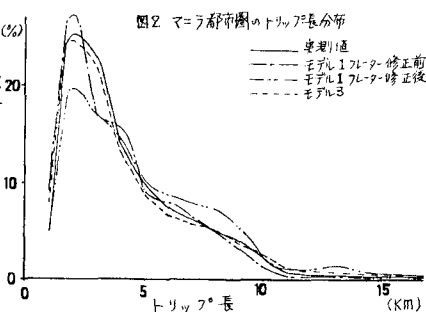
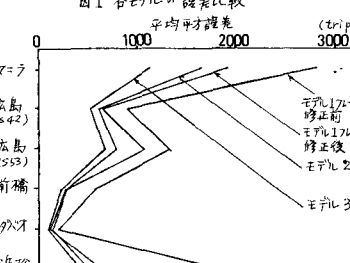


図1, 2より制約条件が加わるにつれ誤差が減少していくことがわかる。さらにフレーター修正後の結果以上にモデル3の説明力は高く、トリップ長分布を見れば、修正計算により、乗車分布形を歪めている事が判明した。図3より、パラメータの感度は、その最適値付近では比較的安定してて鈍い事が判明した。

#### 4. 都市圏間のパラメータ比較分析

一般に $\alpha$ の2制約条件を付加してもモデルは対象地域全体にゾーン間距離の乗数なら抵抗のパターンを当てはめている、さらに基本式を見ればその距離 $C_{ij}$ に対して相対的意味しか持たない事がわかる。今後 $\alpha$ に人口分布等均一である仮想都市(図4)を考える。それは $\alpha$ はトリップ長 $X$ に対して $X^\beta$ なる抵抗を受けて人は移動していく事である。この都市の直径 $X_0$ の部分のみに対して推進されてパラメータ $\alpha$ が $\beta$ だとするとこの時は、 $0 \sim X_0$ の部分である単位長における座標系でのパラメータ $\alpha$ であることが理解される。この $\alpha$ と $\beta$ の関係は

$$\alpha = \beta \log X_0 \quad (\beta > 0)$$

となる。従って $\alpha$ は、圏域の大きさを代表する3種類の指標と共に増加するという推察が成り立つ。この指標として平均ゾーン間距離を、用い8都市圏にて考慮する圏域を多少変化させてケースを作り図示したのが図5である。かなり高い相関が見られる。実際の都市では、同一の距離に対する他の地域の交通システムの水準、生活様式等により抵抗が異なるものと考えられ次にそれらの指標と $\alpha$ の関係を分析した結果、 $\alpha$ は次の関係式で説明づけられた。

$$\alpha = 0.056 \bar{C} - 0.27 S + 2.08$$

(注) S: 山林原野荒地・湖沼を除く対象地域の面積当りの鉄道、バス、路面電車、道路(幅5m以上)の路線延長(km)

相関係数は0.96であった。

この $\alpha$ を各交通手段別に求めると、徒歩、鉄道、乗用車、2輪車、バスなどの分布範囲に明らかな差が見られて。この事から全交通手段の分析におけるパラメータ $\alpha$ は、交通手段の構成割合の影響を受けている事が考えられる。

#### 5. おわりに

以上からパラメータ $\alpha$ の性質をかなり明らかにできた。今後はより多くのサンプルを用いて検証が必要である事、ゾーニングの方法について詳細な研究が必要である事、 $i,j$ 間距離に時間距離、一般化コストを用いる事が考えられる事、各交通手段別にパラメータ $\alpha$ を求める場合には各交通手段の適用が利用距離帯を考慮に入れべきである事などが掲げられる。

#### 〈参考文献〉

- S.P. EVANS, A Relationship Between the Gravity Model for Trip Distribution and the Transportation Problem in Linear Programming. *Transportation Research* Vol. 1, 1973
- P.H. BENDTSSEN, Mean Travel Time and the Exponent of the Deterrent Function, *Transportation Research*, Vol. 10, 1976

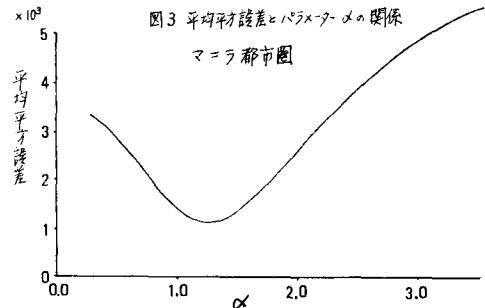


図3 平均平方誤差とパラメータ $\alpha$ の関係  
マニラ都市圏

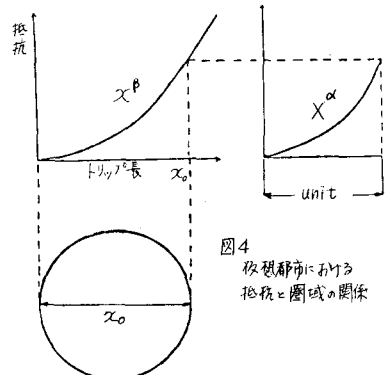


図4 仮想都市における抵抗と圏域の関係

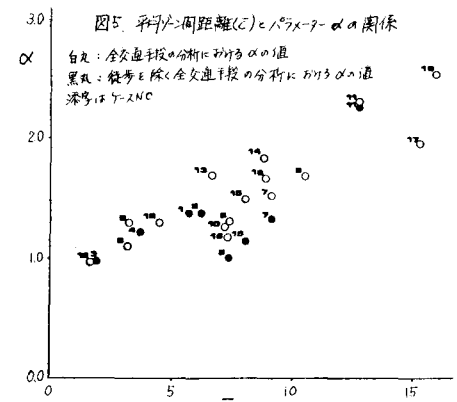


図5 平均ゾーン間距離(C)とパラメータ $\alpha$ の関係

白丸: 全交通手段の分析における $\alpha$ の値  
黒丸: 徒歩を除く全交通手段の分析における $\alpha$ の値  
添字はモード名